

I-30 ランダム連行荷重による橋桁の動的応答に関する研究

京都大学工学部 正員 山田善一
金沢大学工学部 正員○小堀義雄

本研究は、主として道路橋の衝撃問題を亮明する目的で行ったものである。一般に道路橋に載荷する連行自動車荷重列は、その荷重の重さ、車頭間隔は at random である。また道路の線形、信号等の為に自動車はある群をして走行している。この車群の分布もまた確率的要素をもつてゐるであろう。われわれはこれらに注目して、このようなランダム連行荷重による道路橋の振動問題を高速電子計算機の中で数学的実験を試みたので、その過程と現在までに得られた結果について報告する。用いた電子計算機は金沢大学電子計算機 (NEAC 2230) である。

1 プログラム作成の過程

今回は研究の第一段階として、

- (a) スパン l なる等断面単純桁橋を対象とする。(b) 自動車荷重は図-1 に示すようなバネ上質量とスプリングからなる 1 自由度系とする。(c) 自動

車のバネ下荷重またはタイヤ部にあたる部分は橋桁の動たる曲線に沿って走らかに走行するものとする。(d) 単純桁橋において振動中の 2 次以上のモードの項は省略する。

以上の主な 4 つの仮定を用ひ、さらに連行荷重列についてには交通流に関する今までの研究と実際の交通調査から得られた結果にまとめて、その車群(平均 5 台)、荷重の分布(大型車平均 ton 、小型車平均 ton)、車頭間隔(平均 $10m$)を確率変数として計算機の中で模型を作成してある。橋の模型については建設者土木研究所の標準設計書の活荷重合成桁橋の死荷重五分之一換算断面 2 次モーメントから近似的に各スパンに対する値を算出している。プログラムのフローチャートを簡単に図-2 に示す。

2 数値計算に用いた関係式

$$\frac{d^2 Y_{n+1+i}}{d \tau^2} = -\frac{l^2}{b_1} M_1 g \left\{ Y_{n+i} - \sum_{j=1}^i \bar{b}_{n+j} \sin \pi (\tau - \frac{j}{l} \tau_m) \right\}$$

$$\frac{d^2 \bar{b}_{n+1+i}}{d \tau^2} = \frac{2 R_o}{\alpha^2} \left[-\frac{\Delta m}{M_1} \bar{b}_{n+1+i} + N_m \left\{ 1 + \Delta m \mu \left(Y_{n+i} - \sum_{j=1}^i \bar{b}_{n+j} \sin \pi (\tau - \frac{j}{l} \tau_m) \right) \right\} \right]$$

$$Y_{n+1}^{*} = Y_{n+1} + \frac{d Y_{n+1}}{d \tau}(\alpha \tau) + \frac{1}{2} \frac{d^2 Y_{n+1}}{d \tau^2}(\alpha \tau)^2, \quad \bar{b}_{n+1}^{*} = \bar{b}_{n+1} + \frac{d \bar{b}_{n+1}}{d \tau}(\alpha \tau) + \frac{1}{2} \frac{d^2 \bar{b}_{n+1}}{d \tau^2}(\alpha \tau)^2$$

$$V_{n+1}^{*} = \frac{d Y_{n+1}}{d \tau}(\alpha \tau) + \frac{1}{2} \frac{d^2 Y_{n+1}}{d \tau^2}(\alpha \tau)^2, \quad V_{n+1}^{*} = \frac{d \bar{b}_{n+1}}{d \tau}(\alpha \tau) + \frac{1}{2} \frac{d^2 \bar{b}_{n+1}}{d \tau^2}(\alpha \tau)^2$$

$$Y_{n+1+i} = Y_{n+1}^{*} + \frac{1}{6} \frac{d^3 Y_{n+1+i}}{d \tau^3}(\alpha \tau)^3, \quad \bar{b}_{n+1+i} = \bar{b}_{n+1}^{*} + \frac{1}{6} \frac{d^3 \bar{b}_{n+1+i}}{d \tau^3}(\alpha \tau)^3$$

$$(d\tau) \frac{d Y_{n+1+i}}{d \tau} = V_{n+1}^{*} + \frac{1}{2} \frac{d^2 \bar{b}_{n+1+i}}{d \tau^2}(\alpha \tau)^2, \quad (d\tau) \frac{d \bar{b}_{n+1+i}}{d \tau} = V_{n+1}^{*} + \frac{1}{2} \frac{d^2 Y_{n+1+i}}{d \tau^2}(\alpha \tau)^2$$

ここで K , $\mu = \frac{k_{11}}{M_1 g} = \frac{k_{22}}{M_2 g} = \dots = \frac{k_{nn}}{M_n g} = -\text{定} \dots \text{stiffness parameter}$

$R_o = \frac{M}{m l} = \frac{\text{標準自動車重量}}{\text{全車の重量}} \dots \text{weight parameter}$

$\alpha = \frac{v}{l} \sqrt{\frac{4m}{g}} \dots \text{Velocity parameter}$

$v = \frac{v_0 t}{l}, \quad Y_0 = \frac{Y_0}{\Delta m}, \quad \bar{b}_n = \frac{\bar{b}_n}{\Delta m}, \quad \Delta m: \text{スパン中央部の最大静たわみ } \text{である}.$

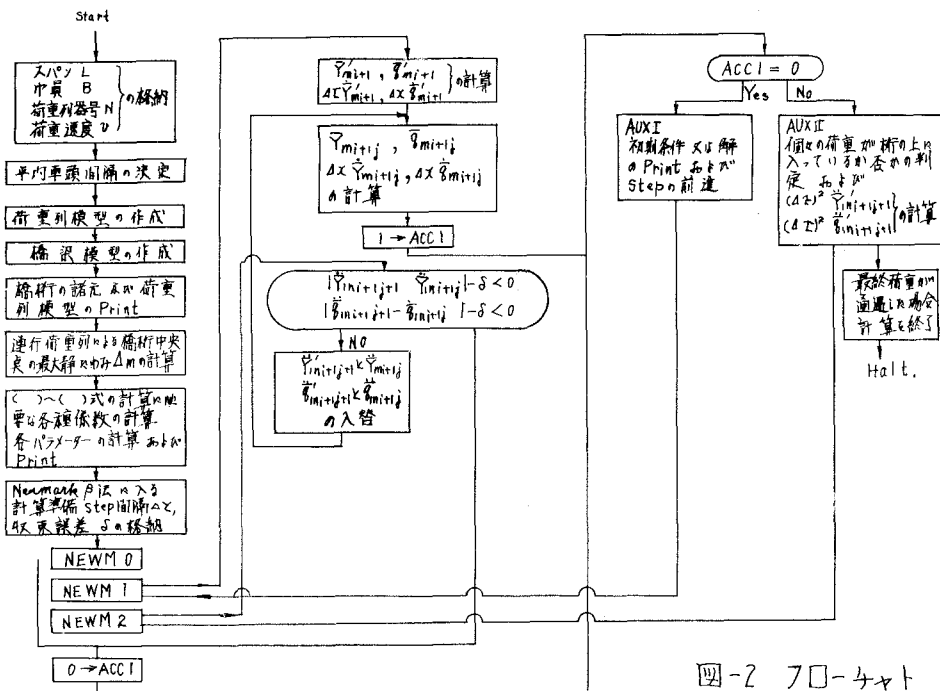


図-2 フローチャート

3. 数値計算とその結果

われわれは、今回は主としてスパンと衝撃係数について、連行荷重列による橋軸中央支点の振動性状および荷重が橋軸に入る時の初期条件によってどうかわらかにについて実験する目的で、スパンを 20m, 30m, 40m, 50m について数値計算を行っており、その結果は図-3 の通り。これらの結果から現在まで得られたところは、(1) 荷重の質量およびスパン長さにより影響は無視出来ない。(2) 橋軸に入る時の自動車荷重よりも初期条件は短スパンの橋の衝撃係数に相当影響を及ぼす。(3) 単一荷重による衝撃係数より連行荷重による荷重は一般に小さく、連行荷重の分布は連行荷重の車頭間隔の分布の影響は大きい。連行荷重列の車列、荷重の重さ、車頭間隔について統計的に処理された数値十種の連行荷重を走行させた時の衝撃係数は正規分布となり、確率的検討するより研究を続ける。本研究は文部省科学研究所の援助を受けた。

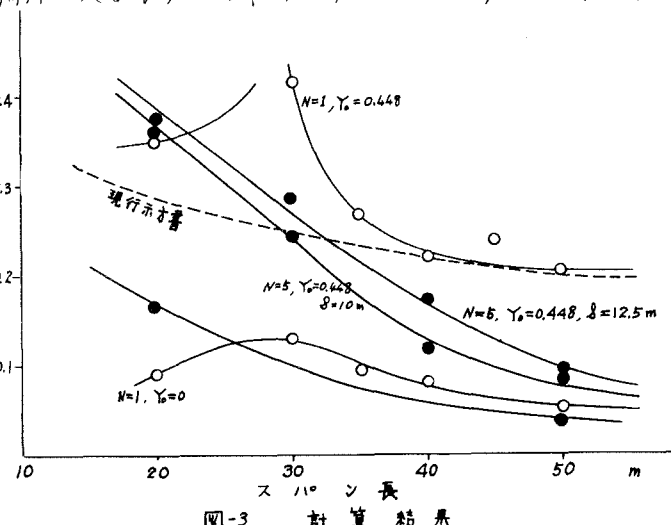


図-3 計算結果